

# ビシクロ [1.1.0] ブタンと遷移金属化合物の相互作用に関する研究

A Study on the Reactions of Bicyclo [1.1.0] butane with Transition Metal Complexes

山 川 仁

Masashi YAMAKAWA

## 1. 緒言

ビシクロ [1.1.0] ブタンは、大きなひずみエネルギーをもち、最も反応性の高い炭化水素化合物の一つである。また、その反応性はきわめて多様であり、これまでに多くの研究が行われてきた<sup>1)</sup>。ビシクロブタンの構造は、二つのシクロプロパンが融着した構造であり、中央の C1–C2 結合部分にひずみが集中している。表 1 に b3lyp/6-311++G(d,p) 法で最適化したビシクロ [1.1.0] ブタン(1)の構造とマイクロ波による実験値を示した。結合角と結合距離ともに計算値と実験値はよい一致を示しており、この計算の精度が十分高いことがわかる。 $sp^3$  混成の炭素–炭素結合の標準的な値は 1.54 Å であるが、ビシクロブタンのそれはかなり短くなっている。これは結合

の歪みが原因と考えられる。また、炭素–水素結合も標準値よりいくらか短くなっている。標準の  $sp^3$  混成の原子の結合角は 109.5° であるが、ビシクロブタンの角 C2–C1–C3 は 60° である。その結果、結合 C1–C3, C2–C3, C2–C4, C4–C1 が開裂しやすい。

反応性の指標であるフロンティア分子軌道の最高被占軌道は C1–C3 において結合性である。また、炭素原子 C1 および C3 の反対側にも大きな拡がりをもっている。一方、最低空軌道は C1–C3 において反結合性である。

ビシクロブタンの中央の C1–C2 結合の性質については、多くの報告がある。シクロプロパンの炭素–炭素結合の p 性は 86% であるのに対し、ビシクロブタンの C1–C2 結合の p 性は 96% である<sup>3)</sup>。核磁気共鳴スペクトルにおける C1–C2 の  $J_{cc}$  値はきわめて小さく ( $-5.4 \sim -17.5$  Hz), この結合の s 性は約 11% と見積られている<sup>4)</sup>。また、C1–C2 結合の電子密度は結合軸から 45°~30.8° 外側にふくらんでいる<sup>5)</sup>。また、この結合が  $\pi$  性を有することが UV スペクトルや実験によって確かめられている<sup>6)</sup>。ビシクロブタンのひ

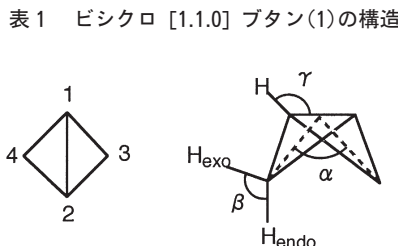


表 1 ビシクロ [1.1.0] ブタン(1)の構造

method	$\alpha$	$\beta$	$\gamma$	C1–C2	C1–C3	C1–H	C2–H <sub>exo</sub>	C2–H <sub>endo</sub>
b3lyp	122.0	114.3	129.2	1.493	1.500	1.078	1.087	1.091
microwave <sup>2)</sup>	122.7	115.6	128.4	1.497	1.497	1.071	1.093	1.093

Angles are given in degrees, bond lengths in Å

ずみエネルギーは64kcal/molと推定されている。この値はシクロプロパンの27.5kcal/molと比較してきわめて大きい。

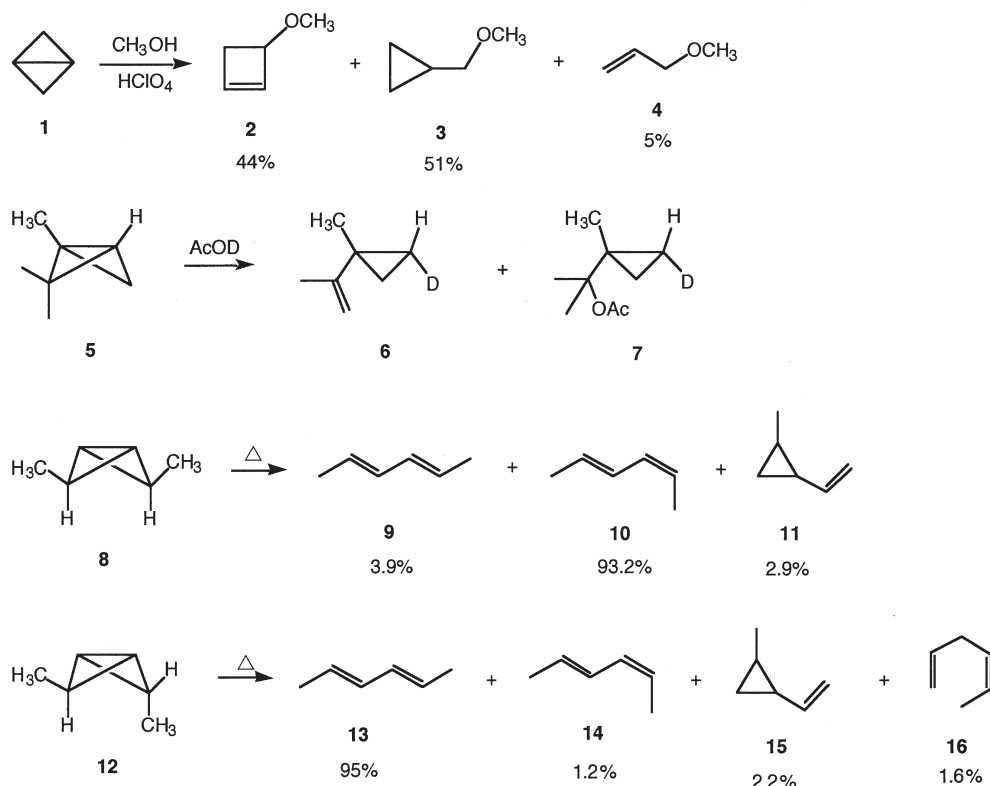
酸性( $\text{pH}<4$ )条件下において、ビシクロ[1.1.0]ブタンは開環反応を行なう。この反応では、先にHがビシクロブタンに付加し、環開裂が起こる。カチオン性生成物とメタノールとが反応し、**2**(44%)と**3**(51%)が得られる。また、この反応ではシクロブチル陽イオンやシクロプロピル陽イオン中間体が安定に生成する<sup>7)</sup>。

ビシクロブタン誘導体**5**へのAcODの付加反応は立体選択的に進行する。生成物**2**と**7**においてシクロプロパン環に結合しているメチル基と重水素がトランスに結合していることから、この反応における最初の重水素陽イオンの攻撃は「side attack」で起きていることがわかる。シアノ基のような電子吸引

性の置換基をもつビシクロブタンでは、求核試薬はendo側から攻撃する。

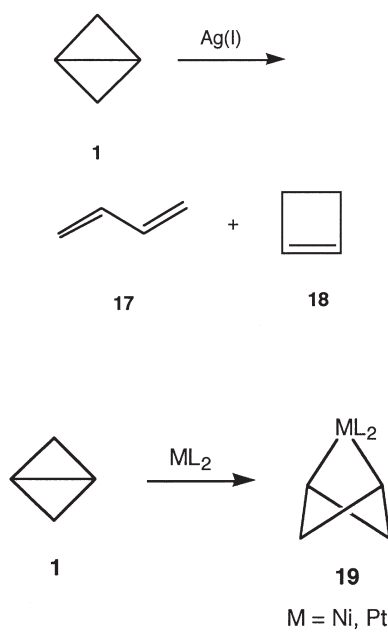
ビシクロブタンのC1-C2結合は $\pi$ 性をもつため、不飽和化合物と付加反応を行なう。このとき、不飽和化合物はビシクロブタンのendo側から反応し、環の反転が起きる。また、この反応は協奏的でなく、段階的に進行すると考えられている。

二種類のジメチルビシクロブタンを用いた熱反応は立体選択的に開環する。exo,exo-ジメチルビシクロブタン(**8**)の開裂反応ではcis,trans-2,4-ヘキサジエン(**10**)が主生成物である。また、exo,endo-ジメチルビシクロブタン(**12**)の開裂反応ではtrans,trans-2,4-ヘキサジエン(**13**)が主生成物である<sup>9)</sup>。従って、この反応は $\sigma$ 2s+ $\sigma$ 2aの「conrotatory」プロセスで協奏的に進行する。また、この反応の活性化エネルギーは40.6kcal/molである。



理論計算では、協奏的反応の活性化エネルギーは90kcal/mol、一方、二段階のシクロプロピルカルビニルラジカル中間体を経由する反応は43.6kcal/molである<sup>10)</sup>。

カチオン性の強い金属化合物、 $\text{AgBF}_4$ 、 $\text{ZnI}_2$ 、 $\text{HgBr}_2$ 等はビシクロブタンの異性化反応を促進し、ブタジエン(17)を与える。また、少量ではあるが、シクロブテン(18)も得られる。一方、酸化的付加反応を行なう傾向が強い  $[\text{Rh}(\text{CO})_2\text{Cl}]_2$  と  $[(\text{C}_2\text{H}_4)_2\text{PdCl}]_2$  は、 $\text{AgBF}_4$  等の反応とは異なる反応機構でビシクロブタンの結合開裂を促進し、最終的にブタジエンを与える。この反応では最初に C1-C2 結合に金属が酸化的付加した中間体が生成すると考えられる。実際に、 $\text{Rh(I)}$  や  $\text{Pd(II)}$  より電子供与性の強い、 $\text{Pt(0)}$  や  $\text{Ni(0)}$  錯体は 19 のような付加体を生成する。本研究において、カチオン性の遷移金属として  $\text{Ag(I)}$ 、電子供与性の金属の代表として、 $\text{Ni(0)}$  錯体を選び、ビシクロブタンとの反応を検討したので報告する。



## 2. 計算方法

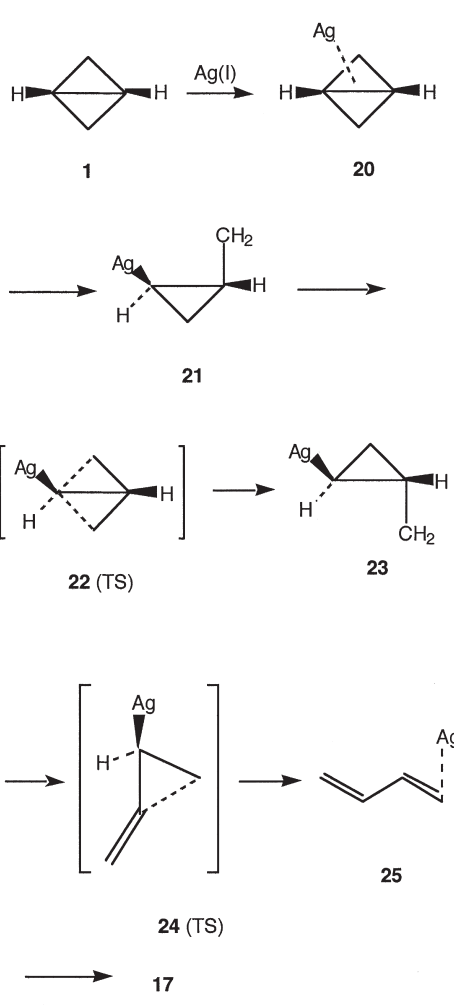
すべての計算は Gaussian 03<sup>12)</sup> プログラムを用い、密度汎関数法 (B3LYP) あるいは CAS-SCF 法を用いて行なった。基底関数は、 $\text{Ag}$  には擬ポテンシャル SDD 基底関数、 $\text{P}$  と  $\text{Ni}$  に 6-311++G 基底関数、炭素原子と水素原子には 6-311++G(d,p) 基底関数を用いた。構造最適化は、対称性を利用せず、すべての構造パラメーターを最適化した。ニッケル(0)錯体のビシクロブタンへの付加の遷移状態の構造の CAS-SCF 計算は活性空間とその電子数を変えて試みた。最適化構造は図-1 に、結合距離は表-1 と 2 に示した。

## 3. 結果と考察

$\text{Ag(I)}$  の触媒作用によって、ビシクロブタンはブタジエン(17)あるいはシクロブテン(18)に異性化する。この反応の機構を密度汎関数法による計算で検証した。ビシクロブタンから、ブタジエンが生成する経路とシクロブテンが生成する二つの経路が存在するが、これらの反応の活性化エネルギー、遷移状態、中間体の構造を計算し比較検討した。さらに、ニッケル(0)錯体のビシクロブタンへの酸化的付加反応の遷移状態を CAS-SCF 計算法によって計算し、その構造を明らかにした。

### $\text{Ag(I)}$ によるビシクロ [1.1.0] ブタンのブタジエンへの異性化

$\text{Ag(I)}$  はビシクロブタンの C1-C2 にエキソ側から弱く配位し、錯体 20 を生成する。 $\text{Ag(I)}$  は水素イオンに似た性質をもっているのでこのような  $\pi$  相互作用は小さいと予測されるが、20 ではビシクロブタンの最高空軌道と  $\pi$  相互作用をもっていると考えられる。 $\text{Ag-C1}$  および  $\text{Ag-C2}$  結合はほぼ同じで、2.548 (2.549) Å である。つぎに、 $\text{Ag(I)}$  が C1 に強く結合すると 21 が生成する。21 の

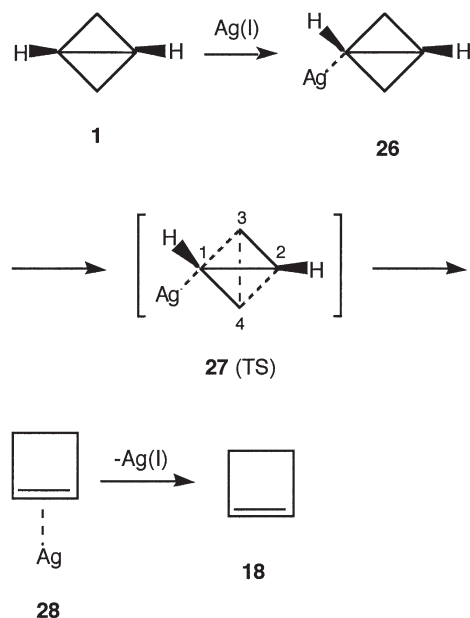


Ag—C1結合は2.137 Åで、20のそれより14%短くなっている。本研究で、20から21へ至る遷移状態を見い出すことができなかった。21ではC1—C3結合が「conrotatory」に開裂している。これは、熱によるビシクロブタンの分解と同じ様式である<sup>13)</sup>。21はC1—C4結合が開列した中間体23と平衡に存在する。この遷移状態は22(TS)である。3から3'への異性化の活性化エネルギーは5.5kcal/molである。したがって、室温付近では非常に早い異性化反応が起きていると考えられる。21あるいは23は遷移状態24(TS)を経由してブ

タジエンの末端炭素原子にAg(I)の配位した生成物25を与える。この反応の活性化エネルギーは2.5kcal/molである。20と比べて25は46.3kcal/mol安定である。このように、ビシクロブタンからブタジエンへの異性化は、3段階で進行するが、いずれも活性化エネルギーは低く、容易に進行する。

### Ag(I)によるビシクロ [1.1.0] ブタンのシクロブテンへの異性化

Ag(I)がビシクロブタンの横側から反応すると中間体26が生成する。次に遷移状態27を経由して銀—シクロブテン錯体28が生成する。この反応では、C1—C3、C2—C4結合の開裂とC3—C4結合の生成が同時に起こり、一段階の反応でシクロブテン18が生成する。この26から28への反応の活性化エネルギーは17.0kcal/molである。遷移状態27では開裂するC1—C3結合は2.473 Åで、中間体26と比較して56%伸長し、C2—C4結合は1.713 Åで18%伸びている。一方、生成するC3—C4結合は2.080 Åである。したがって、この遷



移状態はかなり生成物寄りである。従来、この反応は段階的に進行すると考えられていた。すなわち、Ag(I)がC1炭素原子に結合するとともにC1-C2結合が開裂し、シクロブチル陽イオンが生成する。つぎに、プロトンが転位してシクロブテンが生成する反応機構が提唱されていた。本研究で明らかとなった一段階の反応機構とは全く異なる。また、この反応の活性化エネルギーはビシクロブタンからブタジエンが生成する過程のそれより大きく、ビシクロブタンのAg(I)による異性化の主生成物はブタジエンであることと一致する。

生成物28のシクロブテン部分はAg(I)が二重結合に配位することによって、遊離のシクロブテンと比べ、C1-C2結合とC1-C4(C2-C3)結合はそれぞれ、3.2%および0.3%長くなっている。しかし、C3-C4結合は0.2%短くなっている。これは、Ag(I)の配位によって二重結合は弱まり、四員環のひずみが解消されることにより、C3-C4結合が標準値(1.54Å)に近づいたためと考えられる。

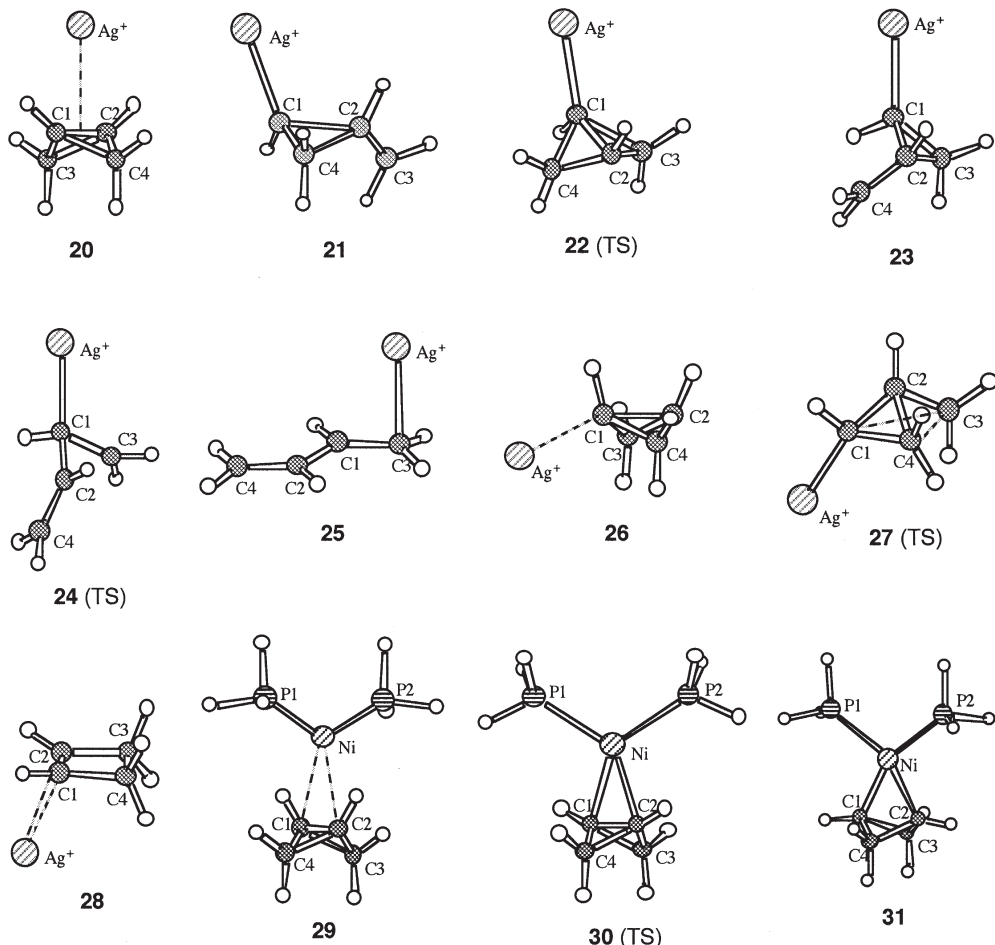


図1 Ag(0)錯体(20~28)およびNi錯体(29~31)の最適化構造

表2 Ag(0)錯体(20~28)の結合距離

化合物	Ag—C1	Ag—C2	Ag—C3	C1—C2	C1—C3	C1—C4	C2—C3	C2—C4	C3—C4
20	2.548	2.549	—	1.577	1.504	1.504	1.505	1.505	—
21	2.126	—	—	1.783	—	1.434	1.352	1.574	—
22 (TS)	2.137	—	—	1.655	1.703	1.703	1.420	1.420	—
23	2.126	—	—	1.783	1.434	—	1.574	1.352	—
24 (TS)	2.176	—	—	1.544	1.402	—	1.990	1.348	—
25	—	—	2.280	1.443	1.384	—	—	1.344	—
26	2.203	—	—	1.633	1.588	1.589	1.452	1.452	—
27 (TS)	2.142	—	—	1.484	2.473	1.507	1.379	1.713	2.080
28	2.396	2.396	—	1.382	—	1.523	1.523	—	1.570

### ニッケル(0)錯体のビシクロ [1.1.0] ブタンへの酸化的付加

ニッケル(0)錯体のモデルとして、ニッケルリビスホスフィン [ $\text{Ni}(0)(\text{PH}_3)_2$ ] を選び、ビシクロブタンへの酸化的付加反応の機構を検討した。ビシクロブタンと  $\text{Ni}(0)(\text{PH}_3)_2$  の弱い $\pi$ 錯合体 **29** では、ニッケル原子のまわりの構造は四面体構造である。これは、このニッケル原子が0価であることを示している。**29** の C1—C2 結合 (1.503 Å) は遊離のビシクロブタンのそれ (1.493 Å) と比べ、わずかに伸長している。

ビシクロブタンの C1—C2 が  $\text{Ni}(0)(\text{PH}_3)_2$  に酸化的付加したニッケル(II)錯体**31**は、P1, P2, Ni, C1, C2 の5原子がほぼ同一平面上に存在する。このことは、ニッケル原子が+2価であることを示している。**31** はビシクロブタンの歪みがほぼ解消されている。その結果、等価な4本のC—C結合は1.544 Åで、これは  $\text{C}(\text{sp}^3)—\text{C}(\text{sp}^3)$  結合の標準値に近い。この歪みの解消が酸化的付加の起き易い原因と考えられる。

ニッケル(0)錯体**29** からニッケル(II)錯体**31**への遷移状態**30**においては、ニッケル原子の  $d^8$  と  $d^{10}$  の電子配置が交差しているので通常のB3LYP法では計算できない。そこで、CAS-SCF法によって計算した。活性空間は8、活性空間内の電子数は8に設定して、構造の最適化を行なったところほぼ収束した。しかし、この計算の再現性は非常に悪かった。遷移状態**30**のニッケル原子のまわりの構造は四面体構造と平面四角形の中間である。つまり、図-3に示すように、C1—C2 結合は P1—Ni—P2 面に対し、42° になっている。この様に、ニッケル(0)錯体のビシクロブタンへの酸化的付加反応は、遷移状態において電子配置の交差が起きる。しかし、構造は連続的に変化して反応が進行している。

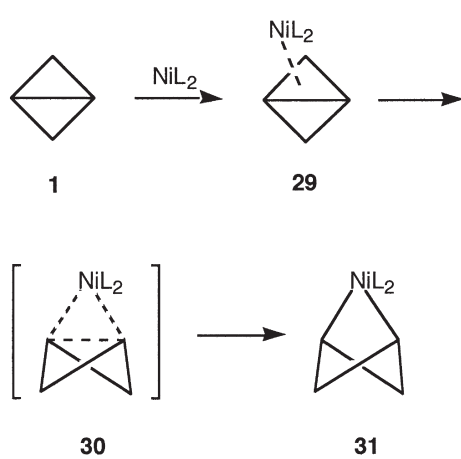


表 3 Ni錯体(29~31)の各結合の結合距離(Å)

化合物	Ni—P1	Ni—P2	Ni—C1	Ni—C2	C1—C2	C1—C3	C1—C4	C2—C3	C2—C4
29	2.191	2.192	2.419	2.436	1.503	1.504	1.504	1.504	1.504
30 (TS)	2.324	2.320	2.175	2.174	1.600	1.505	1.500	1.500	1.505
31	2.272	2.272	1.967	1.967	—	1.544	1.544	1.544	1.544

#### 4. まとめ

ビシクロ [1.1.0] ブタンの遷移金属錯体による異性化反応を密度汎関数法およびCAS-SCF 法によって検討した。その結果、カチオン性の強い Ag(I) によるブタジエンへの異性化は、3段階で進行し、いずれも活性化エネルギーは低く、容易に進行することが明らかになった。また、Ag(I) によるシクロブテンへの異性化は一段階で進行し、活性化エネルギーは 17.0kcal/mol であった。この反応の活性化エネルギーはビシクロブタンからブタジエンが生成する過程のそれよりかなり大きく、Ag(I) による異性化の主生成物がブタジエンであることと一致する。

最も酸化的付加を起こし易いニッケル(0)錯体のビシクロブタンへの酸化的付加反応は、遷移状態において電子配置の交差が起きる。また、この反応の遷移状態のニッケル原子のまわりの構造は四面体構造と平面四角形の中間であることが解った。

#### 5. 文献

- Walczak, M. A. *Research Topic Seminar*, Feb. 12, 2005.
- (1) Harmony, M. D.; Cox, K. *J. Am. Chem. Soc.* 1966, 88, 5049. (2) Cox, K. et. al. *J. Chem. Phys.* 1969, 50, 1976.
- Shulman, J. M.; Newton, M. D. *J. Am. Chem. Soc.* 1974, 96, 6295.
- Pomeranz, M.; Hillenbrand, D. F. *J. Am. Chem. Soc.* 1973, 95, 5809.
- Shulman, J. M.; Fisanick, G. J. *J. Am. Chem. Soc.* 1970, 92, 6653.
- Moor, W. R.; Costin, C. R. *J. Am. Chem. Soc.* 1971, 93, 4910.
- Dauben, W. G.; Smith, J. H.; Saltiel, J. *J. Org. Chem.* 1969, 34, 261.
- Pomerantz, M.; Gruber, G. W.; Wilke, R. *N. J. Am. Chem. Soc.* 1968, 90, 5040.
- Closs, G. L.; Pfeffer, P. E. *J. Am. Chem. Soc.* 1968, 90, 2452.
- Davis, S. R.; Nguyen, K. A.; Lammertsma, K.; Mattern, D.; Walker, J. E. *J. Phys. Chem. A* 2003, 107, 198.
- Bishop III, K. C. *Chem. Rev.* 1976, 76, 461.
- Gaussian 03, Revision D.02, Frisch, M. J.; Trucks, G. W.; Schlegel, H. B.; Scuseria, G. E.; Robb, M. A.; Cheeseman, J. R.; Montgomery, Jr., J. A.; Vreven, T.; Kudin, K. N.; Burant, J. C.; Millam, J. M.; Iyengar, S. S.; Tomasi, J.; Barone, V.; Mennucci, B.; Cossi, M.; Scalmani, G.; Rega, N.; Petersson, G. A.; Nakatsuji, H.; Hada, M.; Ehara, M.; Toyota, K.; Fukuda, R.; Hasegawa, J.; Ishida, M.; Nakajima, T.; Honda, Y.; Kitao, O.; Nakai, H.; Klene, M.; Li, X.; Knox, J. E.; Hratchian, H. P.; Cross, J. B.; Bakken, V.; Adamo, C.; Jaramillo, J.; Gomperts, R.; Stratmann, R. E.; Yazyev, O.; Austin, A. J.; Cammi, R.; Pomelli, C.; Ochterski, J. W.; Ayala, P. Y.; Morokuma, K.; Voth, G. A.; Salvador, P.; Dannenberg, J. J.; Zakrzewski, V. G.; Dapprich, S.; Daniels, A. D.; Strain, M. C.; Farkas, O.; Malick, D. K.; Rabuck, A. D.; Raghavachari, K.; Foresman, J. B.; Ortiz, J. V.; Cui, Q.; Baboul, A. G.; Clifford, S.; Cioslowski, J.; Stefanov, B. B.; Liu, G.; Liashenko, A.; Piskorz, P.; Komaromi, I.; Martin, R. L.; Fox, D. J.; Keith, T.; Al-Laham, M. A.; Peng, C. Y.; Nanayakkara,

- A.; Challacombe, M.; Gill, P. M. W.;  
Johnson, B.; Chen, W.; Wong, M. W.;  
Gonzalez, C.; Pople, J. A. Gaussian, Inc.,  
Wallingford CT, 2004.
- 13) Lutz, J. J.; Piecuch, P. *J. Chem. Phys.*  
2008, 128, 154116.